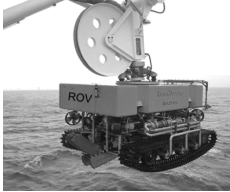


Application 01



Mise à l'eau d'un robot sous-marin

Concours Centrale – MP 2019

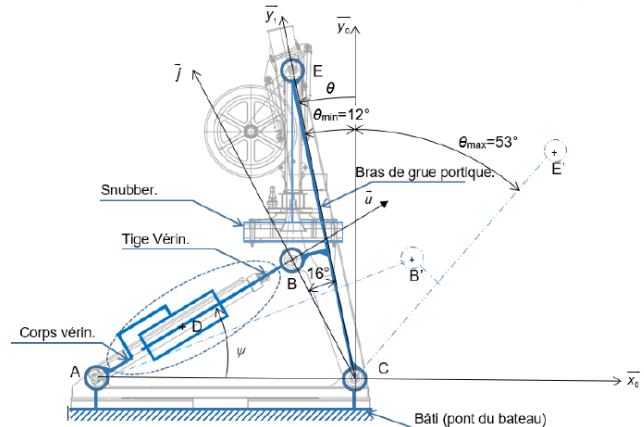
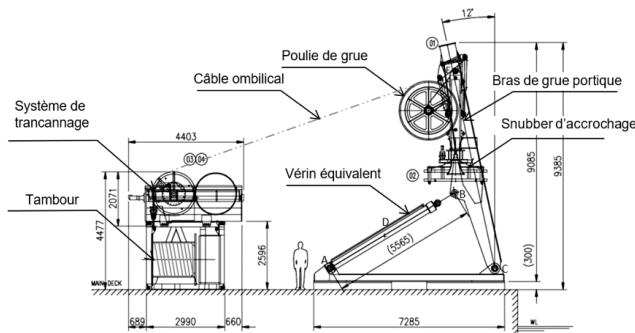
Savoirs et compétences :



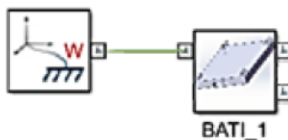
Pour réaliser l'ensouillage sous-marin de câbles, ceux-ci sont déposés sur le fond marin par un navire câblé. Le robot sous-marin ROV (Remotely Operated Vehicle) est déposé sur le fond marin par un bateau support et ensouille le câble provenant du navire câblé après l'avoir détecté et s'être aligné dans l'axe de celui-ci.

Pour transférer le ROV du pont du bateau support jusqu'à l'aplomb de la surface d'immersion une grue portique est utilisée. La grue portique est actionnée par un ensemble de deux vérins hydrauliques modélisés en un seul vérin équivalent pour cette étude.

Lors de la descente du ROV dans la mer, il est suspendu à un câble ombilical. Un bon équilibrage hydrostatique est nécessaire pour assurer l'horizontalité du ROV pendant la descente.



Question 1 À partir des figures précédentes, relier les composants du modèle de simulation multiphysique de la grue portique. Quel(s) ensemble(s) n'ont pas été modélisés ?



Exercice 1 – Moteur à courant continu*

B2-07

On donne les équations du moteur à courant continu :

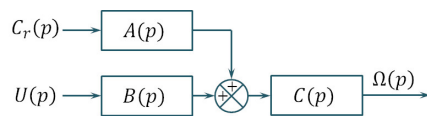
- $u(t) = e(t) + Ri(t) + L \frac{di(t)}{dt}$;
- $e(t) = K \omega(t)$;

- $c(t) = K i(t)$;
- $c(t) + c_r(t) - f \omega(t) = J \frac{d\omega(t)}{dt}$.

Question 1 Réaliser le schéma-blocs.

Question 2 Mettre le schéma-blocs sous la forme

suivante.



Corrigé voir 1.

Exercice 2 – Schéma d'Euler★



C3-02 Pas de corrigé pour cet exercice.

Question 1 Donner la méthode de résolution numérique des équations différentielles suivantes en utilisant le schéma d'Euler explicite.

$$\begin{cases} y'(t) + \alpha y(t) = \beta \\ y(0) = \gamma \end{cases} \quad (1)$$

Corrigé voir 2.

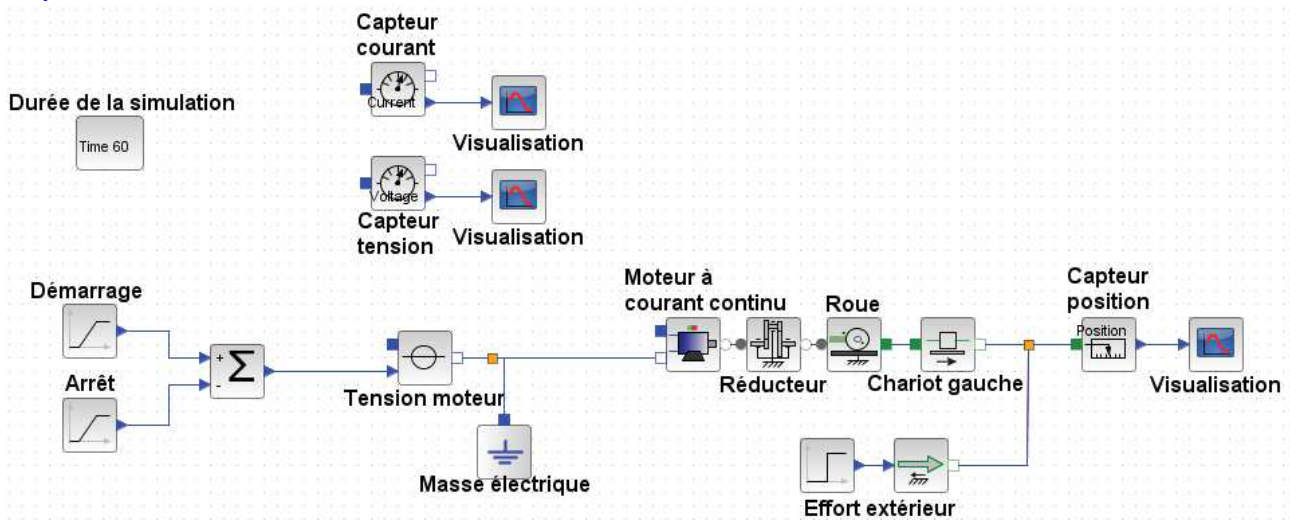
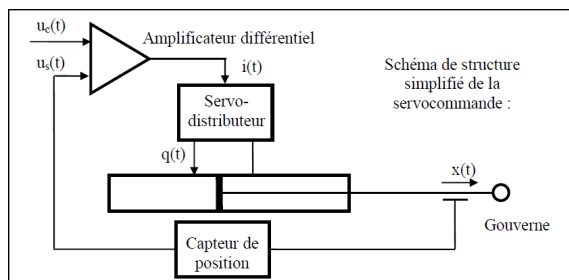


FIGURE 3 – Modèle multiphysique du déplacement d'une demi-voile

Exercice 3 – Vérin*

B2-07 Pas de corrigé pour cet exercice.

On donne le schéma de principe d'une servo-commande.



Les différentes équations temporelles qui modélisent le fonctionnement d'une servo-commande sont :

- un amplificateur différentiel défini par : $u_c(t) = \frac{i(t)}{K_a} + u_s(t)$;
- débit dans le vérin dans le cas d'une hypothèse de fluide incompressible $q(t) = S \cdot \frac{dx(t)}{dt}$;
- capteur de position : $u_s(t) = K_c \cdot x(t)$;



- le servo-distributeur est un composant de la chaîne de commande conçu pour fournir un débit hydraulique $q(t)$ proportionnel au courant de commande $i(t)$. (Attention, valable uniquement en régime permanent.) On a $q(t) + T \frac{dq(t)}{dt} = K_d i(t)$.

Question 1 Réaliser le schéma-blocs.

Corrigé voir 3.

Exercice 4 – Schéma d'Euler*

C3-02 Pas de corrigé pour cet exercice.

Question 1 Donner la méthode de résolution numérique des équations différentielles suivantes en utilisant le schéma d'Euler explicite.

$$\ddot{\theta}(t) + \frac{g}{l} \sin \theta = 0$$

$$\theta(0) = 0 \quad \dot{\theta}(0) = 0$$

Corrigé voir 4.

Application 03



Direction automatique découplée

Banque PT – SI A 2017

Savoirs et compétences :



Depuis maintenant de nombreuses années, les commandes de vol d'avions sont passées d'une technologie purement mécanique à la technologie par fil (Fly by Wire). Le secteur automobile suit cette tendance qui présente de nombreux avantages. C'est le système de direction par fil (Steer by Wire), encore nommé direction découplée, qui fait l'objet de l'étude proposée.

La Figure 4 donne une vue de cette unité sous la forme d'une maquette numérique à laquelle est associé le schéma cinématique qui servira de base à l'étude mécanique.

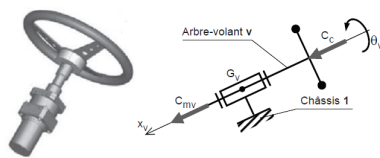


FIGURE 4 – Unité de pilotage (chaîne d'énergie) et schéma cinématique

L'unité de pilotage est constituée d'une chaîne d'énergie chargée de solliciter le volant par un couple $C_{mv} \vec{x}_v$ qui résiste à l'action du conducteur $C_c \vec{x}_v$ quand celui-ci cherche à tourner le volant.

En effet, la simple dynamique du système mécanique de l'unité de pilotage ne donnerait pas au conducteur la sensation de manier la direction d'une automobile. La composante C_{mv} est donc élaborée pour que la dynamique du volant en termes d'inertie et de raideur soit

équivalente à celle d'une direction conventionnelle optimisée selon le type de conduite visée.

La composante C_{mv} est élaborée à partir de la consigne d'angle du volant C_{v_ref} , transmise par le générateur de consigne intégré au contrôleur de modèles, et de la composante C_c du couple conducteur.

Le modèle de la structure sous la forme d'un schéma bloc décrivant le comportement asservi de cette unité est donné Figure 5. On précise que la variable d'entrée est $\theta_{v_ref}(p)$, que la variable de sortie est $\theta_v(p)$ et que la variable $C_c(p)$ est considérée comme une perturbation. Un signal de commande $U_{mv}(p)$ pilote la motorisation.

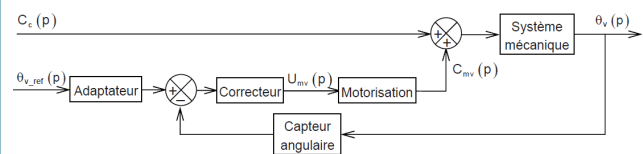
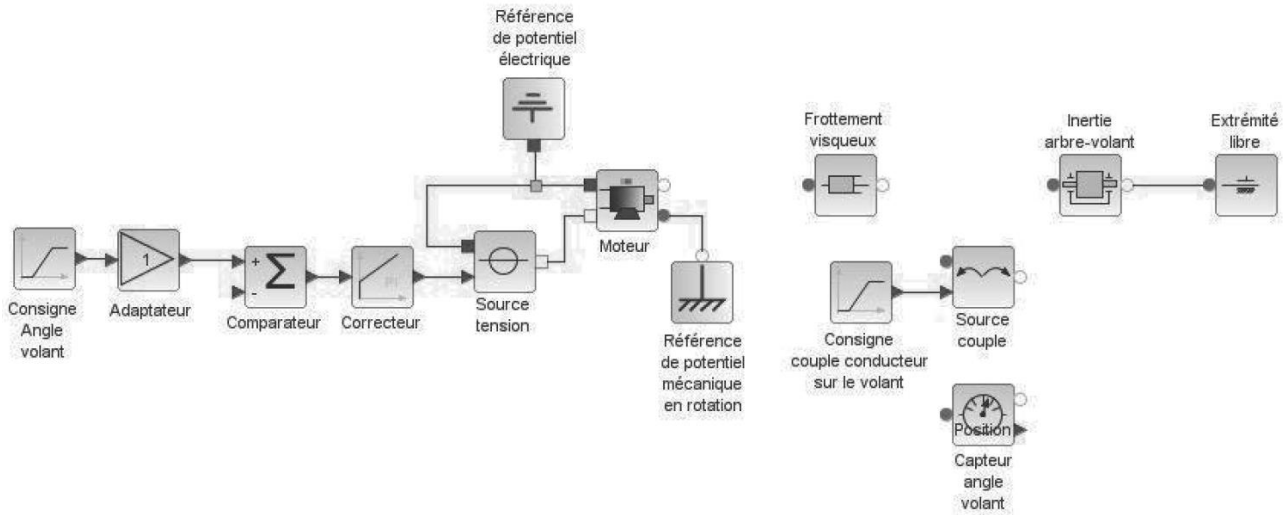


FIGURE 5 – Unité de pilotage (chaîne d'énergie) et schéma cinématique

Un modèle acausal de cette structure dont certains composants ne sont pas reliés aux autres, est donné sur le cahier réponses.

Question 1 Compléter ce modèle en traçant les liens manquants qui donneraient un modèle équivalent au schéma bloc de la Figure 5.

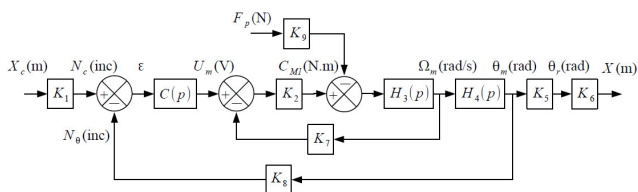


Exercice 5 – Machine de rééducation SysReeduc

*

B2-07

On propose une modélisation par schéma-blocs dans la figure suivante.



Le moteur à courant continu est régi par les équations suivantes : $u_m(t) = e(t) + Ri(t)$, $e(t) = k_e \omega_m(t)$ et $C_{M1}(t) = k_t i(t)$.

Une étude dynamique a mené à l'équation suivante :

$$(M + m) r \rho_1 \dot{\omega}_m(t) = \frac{C_{M1}(t)}{\rho_1 r} - F_p(t)$$

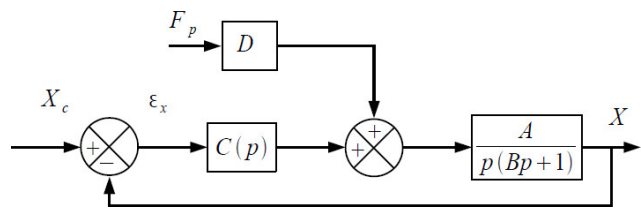
avec : M la masse du chariot et m la masse du support de pied, $\rho_1 = \frac{1}{10}$ le rapport de réduction du réducteur, $r = 46,1$ mm le rayon de la poulie du transmetteur poulie-courroie, $C_{M1}(t)$ le couple délivré par le moteur et $F_p(t)$ l'effort délivré par le patient sur le support 3.

Le codeur incrémental possède 500 fentes équiréparties. Deux émetteurs-récepteurs positionnés en quadrature permettent de mesurer l'information.



Question 1 À partir des équations proposées, déterminer les fonctions de transfert K_1 , K_2 , $H_3(p)$, $H_4(p)$, K_5 , K_6 , K_7 , K_8 et K_9 .

Question 2 Montrer que le schéma-blocs peut être mis sous la forme suivante. On exprimera A , B et D en fonction des paramètres du système r , ρ_1 , k_t , k_e , R , M , m et K_8 .



Corrigé voir 5.

Exercice 6 – Schéma d'Euler*

C3-02 Pas de corrigé pour cet exercice.

Question 1 Donner la méthode de résolution numérique des équations différentielles suivantes en utilisant le schéma d'Euler explicite.

$$\begin{cases} y'(t) = -t y^2(t) & \text{si } t > 0 \\ y(0) = \alpha \end{cases} \quad (2)$$

Corrigé voir 6.